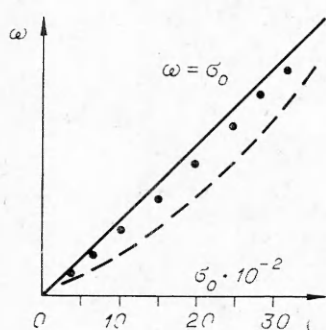


их роста будет максимальной. Численные расчеты по уравнению (9) для определения таких возмущений показаны штриховой кривой на фиг. 2 (сплошная линия отделяет область неустойчивости ($\omega < \sigma_0$) от области устойчивости); точками показано положение границы области неустойчивости, полученное совместным численным решением систем (8), (9), т. е. с учетом изменения по времени коэффициентов T_0 , σ_0 в уравнении (9).



Фиг. 2

Полученные результаты показывают, что с увеличением скорости деформирования (или уменьшением температуры) расстояние между плоскостями локализации деформации уменьшается (что соответствует опытным данным).

Существенно, что полученные выводы носят качественный принципиальный характер и справедливы только для больших скоростей деформации. В частности, вывод о существовании неустойчивых возмущений при любых малых скоростях деформирования не является

физическим, так как в этом случае требуется иная модель среды.

Кроме того, в общем случае требуется решать краевую задачу, что может внести существенные изменения. Полученные здесь выводы могут быть справедливыми только для областей, характерный размер в которых существенно больше характерного размера неустойчивых возмущений

Поступила 19 XI 1976

ЛИТЕРАТУРА

- Рехт Р. Ф. Разрушающий термопластический сдвиг.—«Труды Амер. об-ва инж.-механиков. Прикладная механика», 1964, № 2, с. 34—39.
- Браун А. Ф. Поверхностные явления при пластической деформации металлов.—«Усп. физ. наук», 1957, т. 62, № 3, с. 305—357.

УДК 539.374 : 534.231 .1

ОБ ОДНОМ СПОСОБЕ РЕШЕНИЯ ВОЛНОВЫХ ЗАДАЧ ДЛЯ НЕЛИНЕЙНО-СЖИМАЕМОЙ СРЕДЫ

H. Мамадалиев, Ш. Маматкулов

(*Москва, Ташкент*)

Приводятся аналитические решения задач о распространении одномерной и двумерной стационарной ударной волны в идеальной нелинейно-сжимаемой среде при воздействии интенсивных кратковременных нагрузок в виде взрывного импульса. Рассматриваются одномерные нестационарные задачи о плоском и сферическом слое, а в двумерной постановке решается задача о воздействии подвижной нагрузки на полупло-

скость неупругой среды в случае, когда скорость D движущейся вдоль ее границы нагрузки превышает скорость распространения ударной волны в материале полуплоскости. Во всех задачах предполагается, что среда на фронте мгновенно нагружается нелинейным образом, а за фронтом в возмущенной области происходит линейная необратимая нагрузка (фиг. 1). Такая постановка задач позволяет решить их обратным способом, т. е. задаться определенной формой (скоростью) поверхности фронта ударной волны и определить на границе слоя или полуплоскости соответствующий профиль нагрузки. В этом случае движение среды в области разгрузки описывается волновым уравнением относительно двух переменных, для него формулируется задача Коши, решение которой, как известно [1], существует и единственno. На конкретном примере рассмотрен случай, когда уравнение поверхности фронта волны задано в виде полинома второй степени относительно ξ и результаты расчетов сопоставлены с результатами, полученными на основе метода характеристик [2], которые дали удовлетворительное совпадение всех параметров среды.

Случай линейного погружения и разгрузки среды для двумерной задачи рассмотрен в работах [3, 4]. Решение задачи о распространении сходящейся сферической и цилиндрической ударной волны в идеальной неупругой среде, обладающей жесткой разгрузкой, приводится в [5]. Рассматриваемые задачи могут иметь практические приложения при изучении интенсивных воздействий в водоносных грунтах, а также в водоемах.

1. Распространение одномерной плоской и сферической ударной волны в нелинейно-сжимаемой среде. Пусть на границе слоя приложена монотонно убывающая нагрузка $p_0(t)$. Тогда в среде будет распространяться ударная волна с фронтом $r = R(t)$, за которым происходит разгрузка. В этом случае для возмущенной области имеем уравнения движения, неразрывности и состояния в виде

$$(1.1) \quad \frac{\partial u}{\partial t} + \frac{1}{\rho} \frac{\partial p}{\partial r} = 0, \quad \frac{\partial p}{\partial t} + \rho \left(\frac{\partial u}{\partial r} + \frac{vu}{r} \right) = 0,$$

$$p(r, t) = p^* + E(\varepsilon - \varepsilon^*),$$

где $\varepsilon = 1 - \frac{p_0}{\rho}$; $E = c_p^2 \rho$.

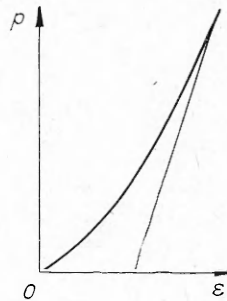
На фронте $r = R(t)$ имеем соотношения вида

$$(1.2) \quad u^*(t) = \varepsilon^* \dot{R}, \quad p^* = \rho^* \varepsilon^* \dot{R}^2, \quad p^*(t) = \alpha_1 \varepsilon^* + \alpha_2 \varepsilon^{*2} \quad (\dot{R} = dR/dt).$$

К системе (1.1), (1.2) следует добавить граничное условие при $r = R_0$

$$(1.3) \quad p = p_0(t).$$

Здесь u — массовая скорость; ρ — плотность; p — давление; ε — объемная деформация; $v = 0$; 2 относятся соответственно к плоскому и сферическому слою; параметры среды, относящиеся к фронту, обозначены сверху звездочкой.



Фиг. 1

В случае плоской одномерной волны, т. е. при $v = 0$, из системы (1.1) можно получить уравнение

$$(1.4) \quad \frac{\partial^2 u}{\partial t^2} - c_p^2 \frac{\partial^2 u}{\partial r^2} = 0,$$

имеющее решение вида

$$(1.5) \quad u(r, t) = f_1(r - c_p t) + f_2(r + c_p t),$$

где неизвестные функции $f_i(\xi)$ ($i = 1, 2$) определяются из граничного условия (1.3) с учетом (1.2). Как сказано выше, для решения этой задачи применяется обратный метод, т. е. считается заданным закон распространения ударной волны $r = R(t)$. Тогда все параметры среды, в том числе $u^*(t)$ и $\varepsilon^*(t)$ на фронте Σ с учетом (1.2), являются известными и имеют вид

$$(1.6) \quad \varepsilon^*(t) = \frac{\left(1 - \frac{\alpha_1}{\alpha_2}\right)}{2} - \sqrt{\frac{\left(1 - \frac{\alpha_1}{\alpha_2}\right)^2}{4} - \frac{\rho_0 \dot{R}^2 - \alpha_1}{\alpha_2}},$$

$$u^*(t) = \dot{R}(t) \varepsilon^*(t).$$

Таким образом, для волнового уравнения (1.4) в секторе $B A \Sigma$ (фиг. 2) получаем видоизмененную задачу Коши с заданными параметрами (1.6) на кривой $A \bar{\Sigma}$, в которой первое равенство как бы заменяет условие для градиента скорости $u^*(t)$. Тогда из (1.6) с учетом (1.1), (1.5) для нахождения f'_1 и f'_2 имеют место формулы

$$(1.7) \quad f'_1[R(t) - c_p t] = -\frac{\ddot{R}}{2c_p} \left[\Delta_1(t) + \frac{\frac{\rho_0}{\alpha_2} c_p \dot{R}}{\Delta_2(t)} \right],$$

$$f'_2[R(t) + c_p t] = \frac{\ddot{R}}{2c_p} \left[\Delta_1(t) - \frac{\frac{\rho_0}{\alpha_2} c_p \dot{R}}{\Delta_2(t)} \right],$$

где

$$\Delta_1(t) = \frac{\left(1 - \frac{\alpha_1}{\alpha_2}\right)}{2} - \Delta_2(t);$$

$$\Delta_2(t) = \sqrt{\frac{\left(1 - \frac{\alpha_1}{\alpha_2}\right)^2}{4} - \frac{\rho_0 \dot{R}^2 - \alpha_1}{\alpha_2}}.$$

Теперь с учетом (1.7), подставляя (1.5) в первое уравнение (1.1) и интегрируя по r от $r = R_0$ до $r = R(t)$ для определения нагрузки $p_0(t)$, получим

$$p_0(t) = p^*(t) + \frac{\rho_0}{2} \left\{ \int_{R_0}^{R(t)} \ddot{R}[F(z_1)] \left[\Delta_1(F(z_1)) + \frac{\frac{\rho_0}{\alpha_2} c_p \dot{R}(F(z_1))}{\Delta_2(F(z_1))} \right] dr + \right.$$

$$\left. + \int_{R_0}^{R(t)} \ddot{R}[F(z_2)] \left[\Delta_1(F(z_2)) - \frac{\frac{\rho_0}{\alpha_2} c_p \dot{R}(F(z_2))}{\Delta_2(F(z_2))} \right] dr \right\},$$

где $z_{1,2} = r \mp c_p t$; $F(z_{1,2})$ — корень уравнения $R(t) \mp c_p t = z_{1,2}$ относительно времени t .

В случае сферической волны, т. е. при $\nu = 2$, из (1.1) имеем уравнение

$$\frac{\partial^2 u}{\partial t^2} - c_p^2 \frac{\partial^2 u}{\partial r^2} - \frac{2c_p^2}{r} \left(\frac{\partial u}{\partial r} - \frac{u}{r} \right) = 0,$$

которое допускает решение вида

$$(1.8) \quad u(r, t) = \frac{\psi'(r - c_p t) + \Phi'(r + c_p t)}{r} - \frac{\psi(r - c_p t) + \Phi(r + c_p t)}{r^2},$$

где штрих сверху означает производную по аргументу.

После некоторых преобразований из (1.6) с учетом (1.8) для нахождения $\psi''(z_1)$ и $\Phi''(z_2)$ получим

$$(1.9) \quad \begin{aligned} \psi''(z_1) &= \psi''(R_0) + \int_{R_0}^{z_1} \Phi(\xi_1) d\xi_1, \\ \Phi''(z_2) &= -\psi''[R(F(z_2)) - c_p F(z_2)] + 2\dot{R}(F(z_2)) \Delta_1(z_2) - \\ &\quad - \frac{\rho_0}{\alpha_2} \frac{\dot{R}(F(z_2)) \ddot{R}(F(z_2))}{\Delta_2(z_2)}, \end{aligned}$$

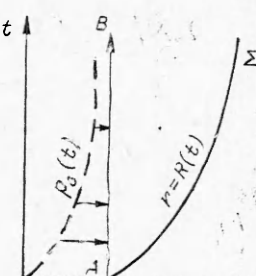
где

$$\begin{aligned} \Phi(z_1) &= -\frac{\dot{R}^3(F(z_1)) \Delta_1(F(z_1))}{2c_p R(\dot{R} - c_p)} \left[1 + \frac{\dot{R}\ddot{R}}{\dot{R}^2} \left(6 + \frac{\dot{R}\ddot{R}}{\dot{R}\ddot{R}} \right) \right] - \\ &\quad - \frac{\frac{\rho_0}{\alpha_2} \dot{R}^3 \ddot{R}}{2c_p (\dot{R} - c_p) \Delta_2(F(z_1))} \left[2 + \frac{\dot{R}\ddot{R}}{\dot{R}^2} = \frac{c_p(\dot{R} + c_p)}{\dot{R}^2} \right] - \\ &\quad - \frac{\frac{\rho_0}{\alpha_2} R \dot{R} \ddot{R}^2}{2c_p (\dot{R} - c_p) \Delta_2^2(F(z_1))} \left\{ \Delta_2^2(F(z_1)) \left[2 + \frac{(2\dot{R} + c_p)}{\dot{R}} \left(1 + 2 \frac{\dot{R}^2}{R \ddot{R}} + \right. \right. \right. \\ &\quad \left. \left. \left. + \frac{\dot{R}\ddot{R}}{\dot{R}^2} \right) \right] + \frac{\rho_0}{\alpha_2} \dot{R}(2\dot{R} + c_p) \right\}; \end{aligned}$$

$\psi'(R_0)$, $\psi''(R_0)$, $\Phi'(R_0)$ определяются из условий (1.2) при $t \rightarrow 0$.

Получение формулы для нагрузки $p_0(t)$ в случае сферической волны с учетом (1.9) аналогично случаю плоской волны.

2. О распространении двумерной волны в нелинейно-сжимаемой среде. Рассматривается плоская задача о движении со сверхзвуковой скоростью D монотонно убывающей нагрузки по границе полуплоскости, материал которой моделируется идеальной средой, обладающей нелинейным и пластическим свойством (см. фиг. 1). Тогда в полуплоскости будет распространяться ударная волна с криволинейной поверхностью Σ_p , по предположению среда на ней мгновенно нагружается, а за фронтом происходит разгрузка. В этом случае на поверхности Σ_p из условия сохранения массы и импульса получим



Фиг. 2

$$(2.1) \quad \rho_0 a = \rho^* (a - v_n^*), \quad \rho_0 a v_n^* = p^*, \quad v_\tau^* = 0 \quad (a = D \sin \alpha).$$

Так как профиль нагрузки по мере распространения волны считается неменяющимся, то задача является стационарной и в области разгрузки в подвижной системе координат $\xi = Dt + x$, $\eta = y$ имеем уравнения

$$(2.2) \quad \begin{aligned} D \frac{\partial u}{\partial \xi} + \frac{1}{\rho} \frac{\partial p}{\partial \xi} &= 0, \quad D \frac{\partial v}{\partial \xi} + \frac{1}{\rho} \frac{\partial p}{\partial \eta} = 0, \\ D \frac{\partial \rho}{\partial \xi} + \rho \left(\frac{\partial u}{\partial \xi} + \frac{\partial v}{\partial \eta} \right) &= 0. \end{aligned}$$

Границное условие имеет вид

$$(2.3) \quad \text{при } \eta = 0, \quad \xi \geq 0 \quad p = f(\xi),$$

где $f(\xi)$ — известная монотонно убывающая функция; v_τ^* , v_n^* — касательная и нормальная составляющие скорости среды к фронту Σ_p ; u , v — проекции скорости на оси ξ и η ; α — угол наклона фронта Σ_p к границе полуплоскости.

Для получения решения задачи подставим первое уравнение (2.2) в третье. Тогда для потенциала скорости φ получаем волновое уравнение

$$(2.4) \quad \mu^2 \frac{\partial^2 \varphi}{\partial \xi^2} - \frac{\partial^2 \varphi}{\partial \eta^2} = 0 \quad \left(\mu^2 = \frac{D^2}{c_p^2} - 1 \right),$$

которое при $D > c_p$ имеет решение вида

$$\varphi(\xi, \eta) = f_3(\xi - \mu\eta) + f_4(\xi + \mu\eta).$$

Если задаться определенной формой Σ_p , то составляющие скорости среды u , v при $\eta = \eta(\xi)$ с учетом (2.1) представляются в виде

$$(2.5) \quad \begin{aligned} u &= \frac{\partial \varphi}{\partial \xi} = -D \sin^2 \alpha(\xi) \left[\frac{\rho_0 D^2}{\alpha_2} \sin^2 \alpha(\xi) - \frac{\alpha_1}{\alpha_2} \right], \\ v &= \frac{\partial \varphi}{\partial \eta} = D \sin \alpha(\xi) \cos \alpha(\xi) \left[\frac{\rho_0 D^2}{\alpha_2} \sin^2 \alpha(\xi) - \frac{\alpha_1}{\alpha_2} \right], \end{aligned}$$

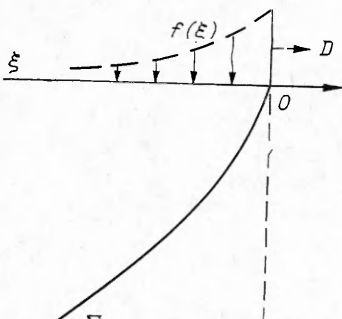
где $\eta(\xi)$ — уравнение поверхности фронта Σ_p . Значит, в случае двумерной волны внутри криволинейного сектора $\xi O \Sigma_p$ (фиг. 3) для (2.4) с учетом (2.5) так же, как в п. 1, получаем задачу Коши и для определения $f_i(z_i)$ имеем формулы

$$(2.6) \quad f_i(z_i) = \mp \frac{D}{2\mu} \int_0^{z_i} \frac{\operatorname{tg} \alpha [F_i(z_i)] \{1 \pm \operatorname{tg} \alpha [F_i(z_i)]\} \Phi_i(z_i)}{\{1 + \operatorname{tg}^2 \alpha [F_i(z_i)]\}^2} dz_i,$$

где

$$\Phi_i(z_i) = \left(\frac{\rho_0 D^2}{\alpha_2} - \frac{\alpha_1}{\alpha_2} \right) \operatorname{tg}^2 \alpha [F_i(z_i)] - \frac{\alpha_1}{\alpha_2};$$

$F_i(z_i)$ ($i = 3, 4$) — корень уравнения $\xi + \mu\eta(\xi) = z_i$ относительно ξ , причем в случае $i = 3$ в (2.6) принимается верхний знак. Отметим, что в обратной постановке задачи, т. е. при заданной поверхности фронта ударной волны, условие (2.3) служит формулой для определения профиля нагрузки $f(\xi)$.



Ф и г. 3

Таким образом, с учетом (2.5), (2.6) получено решение задачи о распространении двумерной нелинейной волны в полуплоскости. Если подставить это решение в (2.3), то в принципе должны получить убывающий профиль нагрузки с резким фронтом в начале координат и в возмущенной области должен осуществляться процесс разгрузки среды.

Анализ получаемых формул скорости и давления, а также результаты расчетов показывают, что процесса разгрузки можно достичь, если скорость фронта волны будет затухать с глубиной полуплоскости.

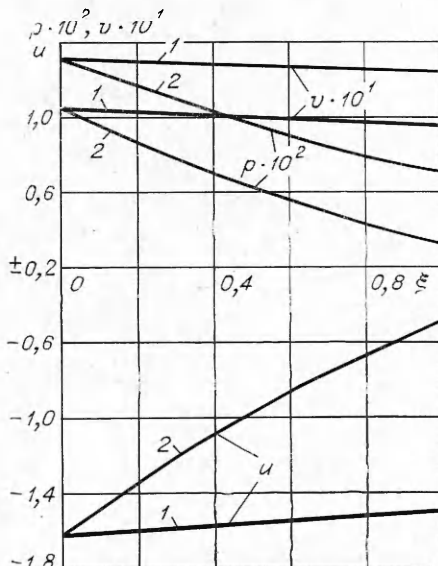
Отметим, что аналогичный обратный метод применен в задаче о волне разгрузки [6].

В качестве иллюстрации метода рассмотрен случай, когда Σ_p задана в виде полинома второй степени, т. е.

$$(2.7) \quad \eta(\xi) = \operatorname{tg} \alpha_0 \xi - \frac{b}{2} \xi^2.$$

Результаты расчетов аналитического метода с учетом (2.7) при $\operatorname{tg} \alpha_0 = -0,1255$, $b = 0,86 \cdot 10^{-3}$ и метода характеристик [2] представлены в таблице, где I — численный метод характеристик, II — аналитический метод. На фиг. 4 приводятся кривые изменения давления и скорости вдоль фронта Σ_p полуплоскости для случаев $b = 0,86 \cdot 10^{-3}$; $0,86 \cdot 10^{-2}$ (кривые 1, 2 соответственно). Из таблицы видно, что результаты, полученные при помощи обоих способов, согласуются взаимно удовлетворительно и найденный обратным методом профиль нагрузки $f(\xi)$ является монотонно убывающим вдоль ξ . Из фиг. 4 заметно, что давление p^* и компоненты скорости u^* , v^* вдоль фронта Σ_p убывают с глубиной полуплоскости по линейному закону, причем в случае $b = 0,86 \cdot 10^{-2}$ спад вышеуказанных величин становится более интенсивным, чем при $b = 0,86 \cdot 10^{-3}$. Расчеты показывают, что все параметры среды, в том числе давление при $\eta = 0$ вдоль ξ (на границе полуплоскости), падают в зависимости от значений коэффициента b различным образом. В случае $b = 0,86 \cdot 10^{-2}$ этот процесс получается более интенсивным и нелинейным. Значит, если скорость фронта волны с глубиной полуплоскости затухает сравнительно быстро, то параметры среды, в частности давление, вдоль границы полуплоскости убывают также интенсивно. Но процесс затухания параметров среды вдоль границы $\eta = 0$ происходит быстрее, чем на фронте.

В целом в данной работе приводится обратный аналитический метод решения одномерной и двумерной



Ф и г. 4

ξ	u		v		p	
	I	II	I	II	I	II
0	-1,644	-1,644	13,100	13,100	105	105
0,1	-1,628	-1,628	13,025	13,020	103,956	103,937
0,2	-1,610	-1,613	12,944	12,940	102,921	102,979
0,3	-1,597	-1,597	12,861	12,860	101,896	101,958
0,4	-1,581	-1,581	12,780	12,780	100,882	100,937
0,5	-1,565	-1,566	12,699	12,700	99,880	99,978
0,6	-1,550	-1,551	12,621	12,620	98,888	99,021
0,7	-1,535	-1,535	12,543	12,540	97,904	98,000
0,8	-1,519	-1,520	12,466	12,470	96,928	97,042
0,9	-1,505	-1,505	12,390	12,390	95,966	96,085
1,0	-1,490	-1,490	12,314	12,320	95,009	95,127

стационарной задачи при кратковременных интенсивных воздействиях с учетом нелинейного пластического деформирования идеальной неупругой среды. В случае $\alpha_2 = 0$ результаты п. 2 совпадают с результатами [4], полученными на основе применения преобразования Меллина.

Поступила 1 XII 1976

ЛИТЕРАТУРА

1. Михлин С. Г. Курс математической физики. М., «Наука», 1968.
2. Рахматуллин Х. А., Мамадалиев Н. Распространение нелинейных волн в грунтовом полупространстве, вызванных бегущей по его границе нагрузкой.— В кн.: Труды симпозиума «Нелинейные и тепловые эффекты при переходных волновых процессах». Таллин — Горький, 1973.
3. Скобеев А. М., Флитман Л. М. Подвижная нагрузка на неупругой полуплоскости.— ПММ, 1970, т. 34, вып. 1, с. 189—192.
4. Капустянский С. М. Распространение и отражение двумерных пластических волн.— «Изв. АН СССР. МТТ», 1973, № 1, с. 60—68.
5. Симонов И. В. О сходящейся ударной волне в идеально неупругой среде и устойчивости кумуляции.— ПМТФ, 1975, № 5, с. 82—92.
6. Рахматуллин Х. А., Демьянов Ю. А. Прочность при интенсивных кратковременных нагрузках. М., Физматгиз, 1961.

УДК 534.222.22

О ПОСТРОЕНИИ УПРУГИХ СКАЧКОВ НА ПРОФИЛЕ УДАРНЫХ ВОЛН, ДЛЯ ВЯЗКОУПРУГИХ СРЕД

H. С. Козин

(Красноярск)

В работе [1] исследована структура ударных волн в упруговязкой среде, характеризуемой временем τ релаксации касательных напряжений и уравнением упругой энергии среды специального вида. В работе [2] сформулированы ограничения типа неравенств для упругой энергии, которые являются достаточ-